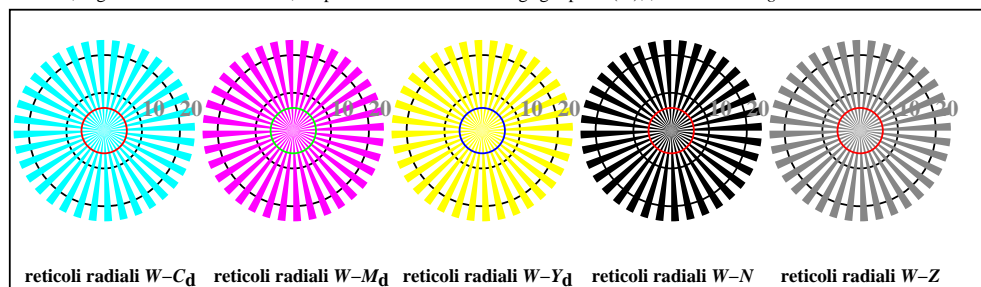




192 x 128
384 x 256
768 x 512
1536 x 1024
3072 x 2048



T1900-3, Fig. B1Wd: motivo floreale, 14 prova colori CIE i 2 + 16 grigio passi (nf); ; PS 3 colorimage

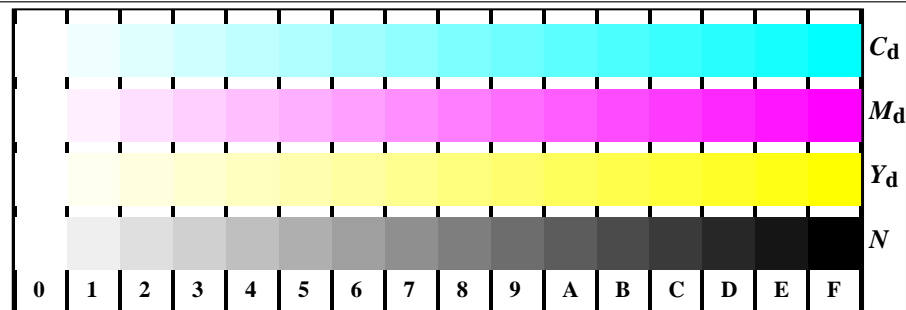


reticoli radiali $W-C_d$ reticoli radiali $W-M_d$ reticoli radiali $W-Y_d$ reticoli radiali $W-N$ reticoli radiali $W-Z$

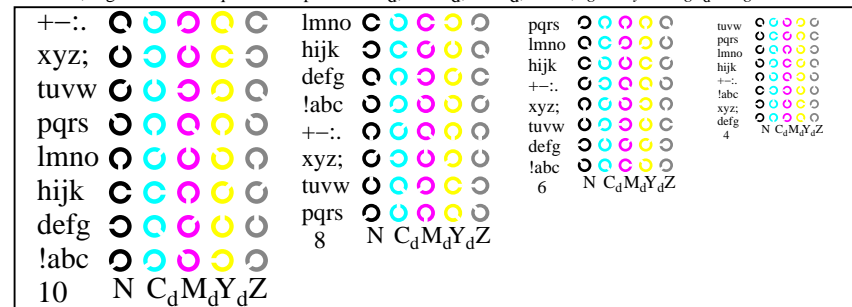
T1900-5, Fig. B2Wd: reticoli radiali $W-C_d$; $W-M_d$; $W-Y_d$; $W-N$; PS operator $rgb \rightarrow rgb_d$ setrgbcolor



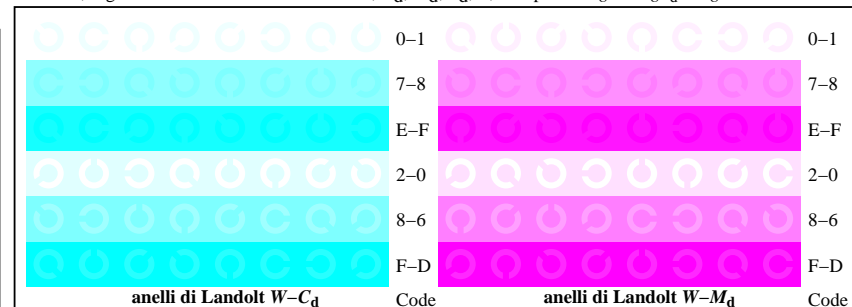
T1900-7, Fig. B3Wd: 14 prova colori CIE i 2 + 16 grigio passi (sf); $rgb/cmy0 \rightarrow rgb_d$ setrgbcolor



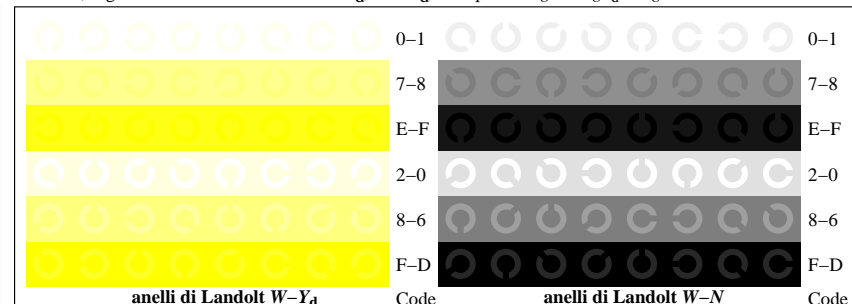
T1901-1, Fig. B4Wd: 16 equidistante passi $W-C_d$; $W-M_d$; $W-Y_d$; $W-N$; $rgb/cmy0 \rightarrow rgb_d$ setrgbcolor



T1901-3, Fig. B5Wd: codice i Landolt anelli N ; C_d ; M_d ; Y_d ; Z ; PS operator $rgb \rightarrow rgb_d$ setrgbcolor



T1901-5, Fig. B6Wd: anelli di Landolt $W-C_d$; $W-M_d$; PS operator $rgb \rightarrow rgb_d$ setrgbcolor



T1901-7, Fig. B7Wd: anelli di Landolt $W-Y_d$; $W-N$; PS operator $rgb \rightarrow rgb_d$ setrgbcolor